

東北大学工学部 学生員 ○大垣 圭一
東北大学大学院 正員 今村 文彦

1. はじめに

2003年9月26日午前4時50分に十勝沖を震源とする地震が発生し、津波が北海道、本州の太平洋沿岸の広い範囲で観測された。北海道えりも町百人浜、大樹町晚成温泉などでは津波が最大4m程度遡上し、広尾町十勝港では漁船の被害、釧路町仙鳳趾沖では養殖施設の被害が報告された。千島海溝周辺は世界有数の地震多発地帯であり、近年も活発に活動を続けている。この地帯で発生した地震の滑り量とその場所を正確に調べることで、割れ残り、発生間隔から次に発生する地震の場所及びその規模を推定することが可能であると言われている。

様々な研究機関でこの地震に関する研究が行われているが、本研究では、現地調査で得られた津波遡上高の記録、気象庁及び北海道開発庁で得られた検潮記録をもとに津波の発生場所及び規模を推定する。また、津波被害についても考察を行う。

2. 解析方法

図1に示す北海道及び東北地方の太平洋沿岸を解析領域とし、式(1)、(2)、(3)の支配方程式を用いて解析を行う。メッシュサイズは501m、再現時間は4時間とし、差分化にはstaggered leap-frog法を用いる。

$$\frac{\partial \eta}{\partial t} + \frac{\partial M}{\partial x} + \frac{\partial N}{\partial y} = 0 \quad (1)$$

$$\frac{\partial M}{\partial t} + \frac{\partial}{\partial x} \left(\frac{M^2}{D} \right) + \frac{\partial}{\partial y} \left(\frac{MN}{D} \right) + gD \frac{\partial \eta}{\partial x} + \frac{gn^2}{D} M \sqrt{M^2 + N^2} = 0 \quad (2)$$

$$\frac{\partial N}{\partial t} + \frac{\partial}{\partial x} \left(\frac{MN}{D} \right) + \frac{\partial}{\partial y} \left(\frac{N^2}{D} \right) + gD \frac{\partial \eta}{\partial y} + \frac{gn^2}{D} N \sqrt{M^2 + N^2} = 0 \quad (3)$$

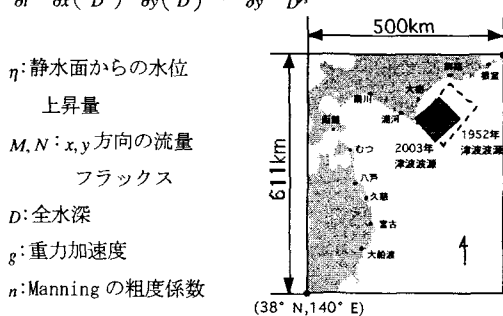


図1. 解析領域

3. 津波波源の解析結果

(1) 均一断層モデルによる断層パラメータの検討

地震調査研究推進本部の断層モデルをもとに、走向、断層位置、断層面、滑り量を修正して数値解析を行い、相田の k 、 κ を用いて実測結果に対し、解析結果の評価を行った。ただし、遡上高と解析波高を比較しているため、検潮記録を用いて滑り量の調整を行った。表1に示す均一モデルで、 $k = 1.266$ 、 $\kappa = 1.4137$ という良好な解析結果が得られた。調査で得られた遡上高と均一断層モデルの解析波高の比較を図2に示す。

(2) 不均一断層モデルによる滑り量の検討

均一断層モデルを図3のように9分割し、それぞれの滑り量の大きさを設定したものを不均一断層モデルとする。滑り量の値は図3に示す値、滑り量以外のパラメータについては均一断層モデルの値を用いて解析

表1. 均一断層モデルの断層パラメータ

均一モデル	$N(^{\circ})$	$E(^{\circ})$	断層長さ(km)	断層幅(km)
	42.05	144.64	92	90
走向(^{\circ})	傾斜角(^{\circ})	滑り角(^{\circ})	滑り量(m)	深さ(km)
230	23	114	4.1	15.7

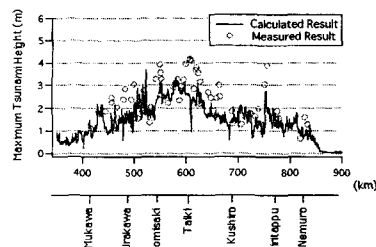


図2. 均一断層モデルによる遡上高と解析波高の比較

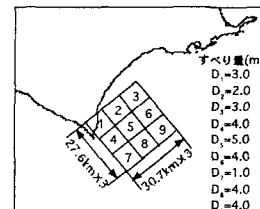


図3. 不均一断層モデルの分布

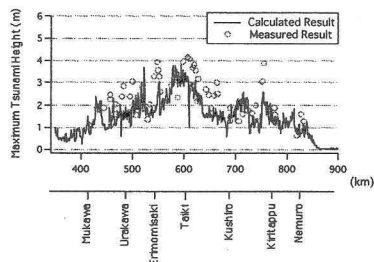


図4. 不均一断層モデルによる遡上高と解析波高の比較

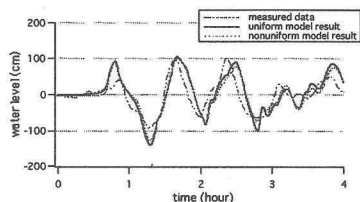


図5. 厚岸での検潮記録と計算結果の比較

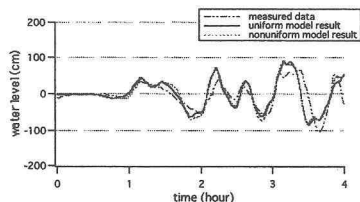


図6. 苫小牧東港での検潮記録と計算結果の比較

を行った。不均一断層モデルにおける遡上高と波高の比較を図4に示す。また、 $k = 1.253$ 、 $\kappa = 1.4104$ となり、 κ は均一断層モデルよりわずかに良くなつた。

北海道の7地点の検潮記録を用いて均一断層モデルと不均一断層モデルの滑り量を決定したが、推定した断層モデルによる時系列波形を図5、6に示す。均一断層モデルと不均一断層モデルではほぼ同様の波形が得られ、検潮記録と比較しても周期、波高ともに十分良好な結果が得られた。

(3)津波第1波(押し波)の到達時間

気象庁の検潮所で観測された第1波と不均一断層モデルの第1波の到達時間の結果を図7に示す。室蘭の検潮所のみ押し波の前に引き波を観測し、その到達時間を示しているため解析結果の到達時間と合わないが、押し波の到達は計算結果とほぼ一致している。その他の地点においても到達時間を再現することができた。

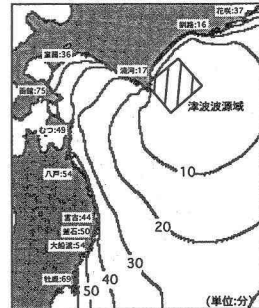


図7. 津波第1波の到達時間

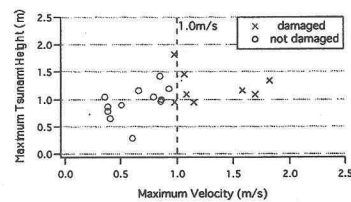


図8. 養殖施設の被害

4. 津波被害分析

北海道4地点、岩手県4地点においてホタテ、カキなどの養殖植物に被害が及んだ。養殖筏は津波の流速によって被害を受けると考えられ、首藤^①によると流速1.0m/sを越えると被害が始めることが示されている。今回被害の発生した8地点と三陸沿岸で被害のなかつた12地点の計20地点で流速、波高との被害関係を検討した結果、図8に示すように流速1.0m/s付近から被害発生の可能性があることを確認した。

5. 結論

2003年十勝沖地震の津波波源を推定したが、本津波の波源は1952年十勝沖地震の波源のおよそ西側2/3の範囲と重なり、残った東側の部分はエネルギーが解放されていないことが分かった。波源となった部分でも、当初、研究機関において推定されていた滑り量より小さい可能性がある。また、本津波による養殖施設の被害から、被害発生の条件となる流速が1.0m/s程度であることを確認した。

<参考文献>

- 1)首藤伸夫(1992):津波強度と被害、津波工学研究報告、第9号、pp. 101-117。